



Crack prevention by adjusting aluminum concentration in GTAW clad $Al_xCoCrFeNi$ high entropy alloy

N. Abbasian Vardin, T. Saeid*, A. R. Akbari

Faculty of Materials Engineering, Sahand University of Technology, Tabriz, Iran.

Received 7 February 2023 ; Accepted 20 May 2023

Abstract

In this study, gas-tungsten arc welding was used for the cladding of two high entropy alloys of $AlCoCrFeNi$ (Al_1) and $Al_{0.7}CoCrFeNi$ ($Al_{0.7}$) onto plain carbon steel plates. The welding process was carried out at a welding current of 180 A and a welding speed of 1.4 mm/s. The microstructures, cracking behavior, phase composition, and hardness of the clads were characterized using various methods, such as optical microscopy (OM), field emission scanning electron microscopy (FESEM), X-ray diffractometry (XRD) analysis, and microhardness measurements. The results indicated that the Al_1 clad had a petal-like structure of the BCC and Cr-rich phases. Both intergranular and transgranular cracks were identified in the Al_1 alloy, which were recognized to be solidification cracks. Thermal stress and brittleness of the BCC phase promote cracking of the Al_1 . On the other hand, in the $Al_{0.7}$ alloy, in addition to the BCC phase, a new FCC phase was formed with various Widmanstatten and dendritic morphologies in the clad microstructure and the Cr-rich phase was not observed. Furthermore, in this alloy with lower Al content, a crack-free clad was obtained. The crack prevention in the $Al_{0.7}$ alloy was attributed to a combination of factors, including a decrease in the solidification range, formation of the FCC phase, and reduction in hardness.

Keywords: High entropy alloy, Cladding, Gas tungsten arc welding, Solidification cracking.

 *Corresponding Author: saeid@sut.ac.ir



جلوگیری از تشکیل ترک با تنظیم مقدار آلومینیم در آلیاژ آنتروپی بالای $Al_xCoCrFeNi$ روکش دهی شده با فرایند GTAW

نیما عباسیان وردین، توحید سعید*، علیرضا اکبری

دانشکده مهندسی مواد، دانشگاه صنعتی سهند، تبریز، ایران.

دریافت مقاله: 1401/11/18؛ پذیرش مقاله: 1402/02/30

چکیده

در پژوهش حاضر دو آلیاژ آنتروپی بالای $(Al_1) Al_1CoCrFeNi$ و $(Al_{0.7}) Al_{0.7}CoCrFeNi$ با فرایند جوشکاری قوسی تنگستن با گاز محافظ آرگون در شدت جریان جوشکاری 180 A و سرعت جوشکاری 1/4 mm/s بر روی فولاد ساده کربنی روکش دهی شد. برای مطالعه ریزساختار و شناسایی نوع ترک‌ها هم‌چنین ترکیب فازی و سختی روکش‌ها از میکروسکوپ نوری، میکروسکوپ الکترون روبشی نشر میدانی، پراش سنجی اشعه ایکس و ریزسختی سنجی استفاده شد. نتایج نشان داد که روکش Al_1 دارای ساختار گلبرگی متشکل از فاز BCC همراه با فاز غنی از Cr بر روی مرزخانه‌ها است. در آلیاژ $Al_{0.7}$ با مقدار Al کمتر، فاز غنی از Cr حذف شده و بجای آن فاز جدید با شبکه کریستالی FCC در انواع ویدمن اشتاتن و دندریتی تشکیل می‌شود. در آلیاژ Al_1 هر دو نوع ترک‌های مرزخانه‌ای و درون‌دانه‌ای ایجاد شده از نوع ترک انجمادی تشخیص داده شدند. هم‌چنین تنش‌های حرارتی و ترد بودن فاز BCC به عنوان عوامل افزایش حساسیت به ترک تعیین شد. در آلیاژ $Al_{0.7}$ ترکیبی از عواملی نظیر کاهش دامنه انجماد، تشکیل فاز FCC در مورفولوژی دندریتی و کاهش سختی در نتیجه کاهش مقدار Al به عنوان عوامل حذف ترک در آلیاژ شناسایی شد.

کلمات کلیدی: آلیاژ آنتروپی بالا، روکش دهی، جوشکاری قوسی تنگستن با گاز محافظ، ترک انجمادی.

* نویسنده مسئول، پست الکترونیکی: saeid@sut.ac.ir

1- مقدمه

در صنایع حساس نظیر هوافضا، پتروشیمی و انرژی نیاز به موادی است که ترکیب مناسبی از خواص مکانیکی و خوردگی در شرایط خاص، نظیر دماهای بالا و محیط‌های خورنده داشته باشد [1]. سوپر آلیاژها یکی از اصلی‌ترین آلیاژهایی هستند که بیشترین کاربرد را در دماهای بالا و محیط‌های خورنده نظیر جوش‌آورها، لوله‌های حامل مواد خورنده و فلنج‌ها دارند

[2 و 3]. محدودیت اصلی سوپر آلیاژها، هزینه زیاد تولید آنها است که یکی از علت‌های آن بالا بودن قیمت عناصر پایه نظیر Ni و Co است. روکش‌دهی آلیاژهای ارزان قیمت با سوپر آلیاژها، یکی از بهترین راهکارها برای کاهش هزینه تولید محسوب می‌شود زیرا مقدار مصرف سوپر آلیاژ در قطعه صنعتی کاهش می‌یابد. از این رو، روکش‌دهی مواد با سوپر آلیاژهای پایه نیکل یکی از بهترین گزینه‌ها برای افزایش عمر قطعات

دماهای بالا است [12-15]. نتایج برخی تحقیقات نشانگر این است که این آلیاژ مقاومت به خوردگی و اکسایش بهتری نسبت به برخی از سوپرآلیاژها نظیر اینکونل 724 و 825 دارند [15 و 16]. ثانیاً در مقایسه با سوپر آلیاژهای پایه نیکل هزینه تولید کمتری دارد، زیرا مقدار عناصر گران بها نظیر Ni و Co در این آلیاژها کمتر است. پس آلیاژ $AlCoCrFeNi$ از لحاظ هزینه و خواص می تواند جایگزین مناسب سوپر آلیاژها در برخی تجهیزات شود.

از طرفی یکی از عیوب این آلیاژ $AlCoCrFeNi$ تشکیل ترک در حین جوشکاری است. ترک یکی از عیوب اصلی در جوشکاری محسوب می شود که بعد از شناسایی نوع آن و با در نظر گرفتن تمهیدات خاص می توان از بروز آن جلوگیری کرد [17, 18]. تا به حال تعداد محدودی پژوهش در مورد تشکیل ترک و علت آن در آلیاژ بر پایه $Al_xCoCrFeNi$ تدوین شده است. فوکسینگ و همکاران [19] آلیاژ $Al_xCoCrFeMnNi$ ($x=0, 1, 1/5, 2$) با روش جوشکاری پلاسمایی بر روی فولاد ساده کربنی روکش دهی کردند. هیچ ترکی در روکشها ($x=0, 1, 1/5, 2$) شناسایی نشد و تنها در نمونه با مقدار آلومینیم $x=2$ تشکیل ترکهایی در سطح روکش و ناحیه متأثر از حرارت گزارش کردند. محققین افزایش اعوجاج شدید شبکه، افزایش سختی و کاهش انعطاف پذیری در اثر افزایش آلومینیم را به عنوان عوامل تشکیل ترک ارائه کردند. فن و همکاران [20] نیز در روکشهای $AlCoCrFeNi$ تولید شده با فرایند جوشکاری قوسی گاز تنگستن در حرارت ورودی مختلف تشکیل ترکهای گرم را گزارش کرده اند اما نتایجی در مورد نوع ترک و علت تشکیل آن ارائه نشده است. در مطالعات قبلی [21] با روکش دهی آلیاژ با $AlCoCrFeNi$ بر روی فولاد ساده کربنی تشکیل ترک بر سطح و مقطع عرضی روکش شناسایی شده است اما نوع و علت تشکیل ترک مورد بررسی قرار نگرفته است. در پژوهش دیگری [22] با کاهش Al، آلیاژ $Al_{0.7}CoCrFeNi$ بر روی فولاد ساده کربنی با شرایط جوشکاری مشابه روکش دهی شد و هیچ ترکی در سطح و مقطع عرضی روکش شناسایی نشد.

نظیر جوش آورها محسوب می شود. با وجود روکش دهی سوپر آلیاژها، همچنان هزینه تمام شده تولید به دلیل وجود عناصر گران بها نظیر Ti, Mo, Nb و V بسیار زیاد است [4, 5]. در سال 2004 آلیاژهای نوینی به نام آلیاژهای آنتروپی بالا معرفی شدند که برخی از این آلیاژها قابلیت جایگزین شدن بجای سوپر آلیاژها را دارند [6, 7]. آلیاژهای آنتروپی بالا بر خلاف آلیاژهای متداول نظیر (آلیاژهای آلومینیم، تیتانیم و فولاد)، دارای چندین عنصر اصلی هستند. آلیاژهای آنتروپی بالا به دلیل داشتن ویژگی های خاص نظیر سختی، مقاومت به خوردگی و اکسایش می توانند در صنایع هوا فضا و انرژی کاربرد وسیعی داشته باشند [8]. همچنین در نتیجه افزایش تعداد عناصر اصلی در آلیاژهای آنتروپی بالا، چهار ویژگی که به اثرات هسته معروف هستند در این آلیاژها ایجاد شده بطوری که این ویژگی ها باعث منحصر بفرد شدن این آلیاژها نسبت به آلیاژهای متداول می شود. از طرفی آلیاژهای آنتروپی بالا نیز شبیه سوپر آلیاژها هزینه تولید زیادی دارند اما با تمهیدات خاص می توان هزینه تولید این آلیاژها را کاهش داد. روش اول، روکش دهی این آلیاژها است [9]. در تولید قطعات صنعتی، روکش دهی با روش جوشکاری به دلیل سرعت تولید بالا، هزینه تولید پایین و ضخامت بالای روکش های تولید شده بسیار مورد توجه است. در بین انواع فرایندهای جوشکاری ذوبی و حالت جامد، فرایند جوشکاری قوسی گاز به دلیل کیفیت روکش بالا و هزینه تجهیزات نسبتاً ارزان یکی از پرکاربردترین فرایندهای روکش دهی محسوب می شود. از این فرایند برای روکش دهی لوله جوش آورها، فلنجها، مخازن تحت فشار و لوله های حامل مواد خورنده استفاده می شود [10]. روش دوم کاهش هزینه تولید، طراحی آلیاژ با ترکیب شیمیایی مناسب است. تا به امروز بیش از 400 نوع آلیاژ آنتروپی بالا طراحی و مورد مطالعه قرار گرفته است [11]. از بین انواع آلیاژهای آنتروپی بالا، آلیاژ بر پایه $AlCoCrFeNi$ به دلیل هزینه تولید کمتر نسبت به آلیاژهای آنتروپی بالای دیگر و دارا بودن خواص منحصر به فرد، مورد توجه بسیاری از پژوهشگران است. مزیت اول این آلیاژ، مقاومت به اکسایش و خوردگی مطلوب در

فلز پایه در ابتدا در اندازه $12 \times 40 \times 80$ میلی متر توسط اهر نواری برش داده شدند. در ادامه سنباده زنی از شماره 60 تا 400 و برس زنی برای اکسیدزدایی سطح انجام شد. سپس از استون صنعتی برای تمیزکاری آلودگی ها و روغن سطح فلز پایه استفاده شد. برای مطالعه ریزساختار و ترکیب فازی روکش های آنترپوی بالا به ترتیب از میکروسکوپ نوری PMG3 Olympus، میکروسکوپ الکترون روبشی نشر میدانی مدل Mira 3 Tescan، دستگاه پراش سنجی اشعه ایکس مدل Bruker Advanced D8 استفاده شد. الگوهای XRD با استفاده از لامپ (آند) مسی ($K_{\alpha 1} = 0.154 \text{ nm}$) تحت ولتاژ 40 kV و جریان 40 mA ثبت شد.

نمونه های لازم برای متالوگرافی با میکروسکوپ های نوری و الکترون روبشی بعد از برش عرضی، سنباده زنی و صیقل کاری، توسط محلول aqua ($\text{HCl}/\text{HNO}_3 = 3/1$) حکاکی شدند. سختی پوشش ها بر اساس استاندارد ASTM E384 توسط دستگاه ریزسختی سنجی Germanischer gloyd با نیروی 300 gf با زمان اعمال بار 15 s از سطح مقطع نمونه ها اندازه گیری شد.

3- نتایج و بحث

شکل (2) نمای ظاهری روکش های تولید شده را بر روی فولاد ساده کربنی نشان می دهد. طبق شکل در روکش Al_1 دو عیب ترک (پیکان قرمز) و تخلخل (پیکان زرد) تشکیل شده در حالیکه در روکش $\text{Al}_{0.7}$ فقط عیب تخلخل وجود دارد. بر اساس نتایج بازرسی چشمی، ترک ها بصورت عرضی به تعداد چهار عدد در روکش Al_1 ایجاد شده است. براساس مشاهدات در حین جوشکاری، ترک ها در حین سرمایش در دمای بالا تشکیل شدند که این نشانه احتمال اینکه ترک ها از نوع گرم هستند را افزایش می دهد [23].

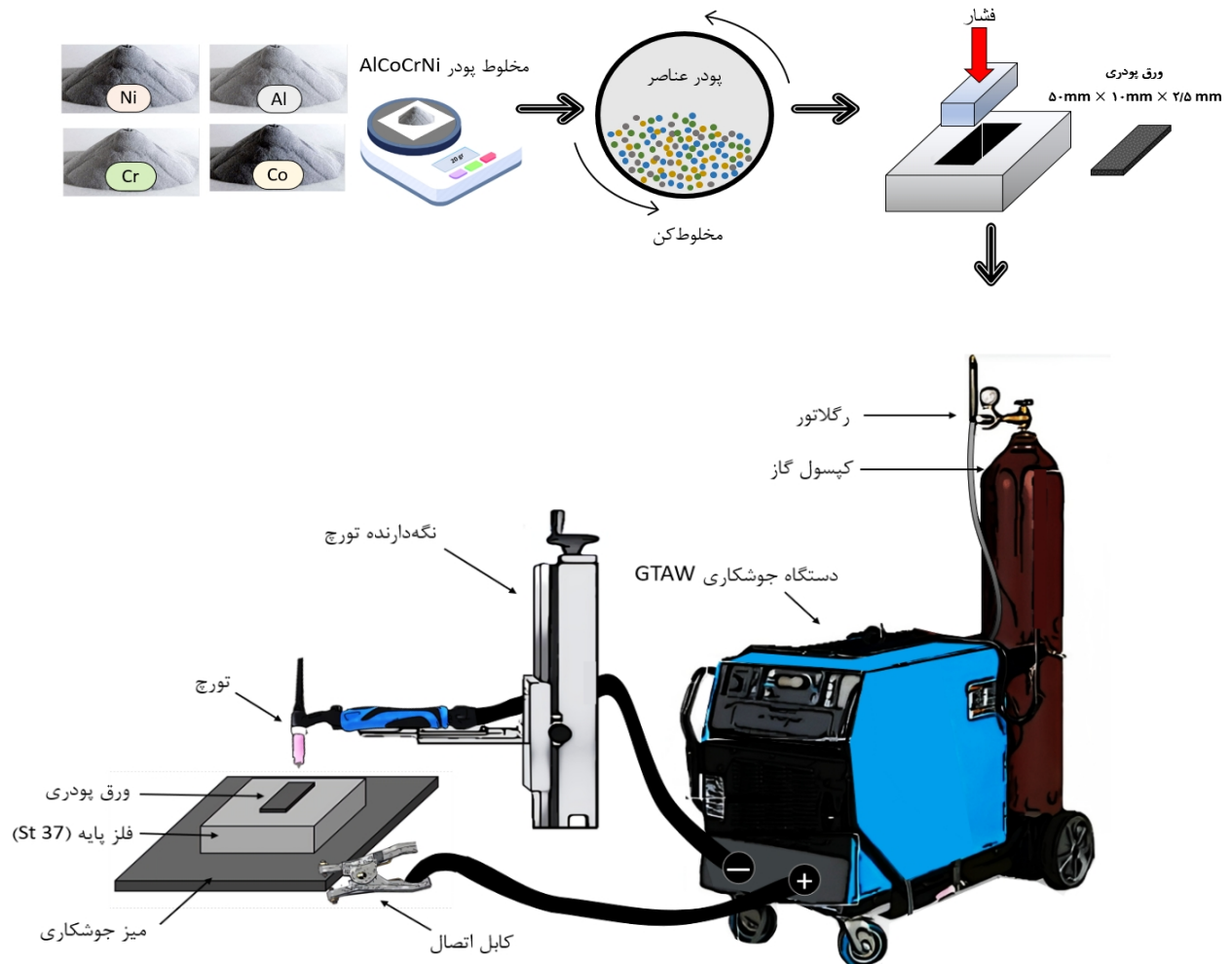
شکل (3) الگوی پراش اشعه ایکس روکش ها را نشان می دهد. طبق شکل در روکش Al_1 تنها پیک های مربوط به فازهای B2 و A2 با شبکه کریستالی BCC تشکیل شده ولی در روکش $\text{Al}_{0.7}$ پیک های فاز با شبکه کریستالی FCC در کنار فازهای A2 و B2 نیز ایجاد شده است.

خلاصه نتایج تحقیقات قبلی نشانگر این است که با کاهش Al ترک ها در آلیاژ حذف می شود اما نوع ترک های ایجاد شده در آلیاژ AlCoCrFeNi و علت حذف ترک در آلیاژ $\text{Al}_{0.7}\text{CoCrFeNi}$ تا کنون مورد بررسی قرار نگرفته است. لذا در پژوهش حاضر هدف اول شناسایی نوع ترک های ایجاد شده در روکش آلیاژ $\text{Al}_1\text{CoCrFeNi}$ است و هدف دوم، پی بردن به علل حذف ترک در آلیاژ $\text{Al}_{0.7}\text{CoCrFeNi}$ است.

2- مواد و روش پژوهش

برای ایجاد روکش در این پژوهش از فرایند جوشکاری قوسی گاز- تنگستن همراه با فلز پرکننده در حالت تسمه پودری استفاده شد که در شکل (1) طرح واره مراحل بصورت گام به گام نشان داده شده است. در مرحله اول براساس نوع ترکیب شیمیایی آلیاژ آنترپوی بالا، مقدار درصد اتمی و سپس درصد وزنی عناصر برای دو آلیاژ AlCoCrFeNi و $\text{Al}_{0.7}\text{CoCrFeNi}$ محاسبه و سپس براساس نوع آلیاژ مقدار هر عنصر توسط ترازوی آزمایشگاهی با حد تفکیک 0/01 g توزین شد. اشاره به این نکته مهم است که برای ساخت تسمه ها از پودر آهن استفاده نشد و مقدار آهن آلیاژ از طریق مقدار نفوذ جوش به فلز پایه (رقت) تامین شد. در ادامه برای خلاصه نویسی، روکش های AlCoCrFeNi و $\text{Al}_{0.7}\text{CoCrFeNi}$ به ترتیب به صورت Al_1 و $\text{Al}_{0.7}$ نشان داده خواهد شد. در مرحله دوم پودر عناصر به یک ظرف عایق بندی شده حاوی گاز آرگون انتقال داده شدند و به مدت 30 دقیقه در دستگاه همزن، برای توزیع یکنواخت مخلوط شدند. در مرحله سوم پودرها توسط قالب فولادی و پرس هیدرولیک 10 تن با اعمال فشار 20 MPa در همدیگر فشرده شده و تسمه های پودری در اندازه $55 \times 10 \times 2/5$ میلی متر تهیه شد.

در مرحله چهارم تسمه های پودری برای روکش دهی بر روی فلز پایه St 37 قرار داده شد و از دستگاه اینورتر جوشکاری شرکت گام الکترونیک با مدل PSQ250AC/DC برای روکش دهی استفاده شد. جوشکاری مطابق با شرایط ذکر شده در جدول (1) صورت گرفت. قبل از روکش دهی تسمه های فولادی



شکل 1- طرحواره مراحل آماده‌سازی تسمه‌های پودری برای روکش‌دهی با فرایند GTAW.

دانه‌ها به دو ناحیه دندریتی روشن و بین‌دندریتی تیره تشکیل شده که ساختار متداول این آلیاژ در حالت ریختگی است [24].

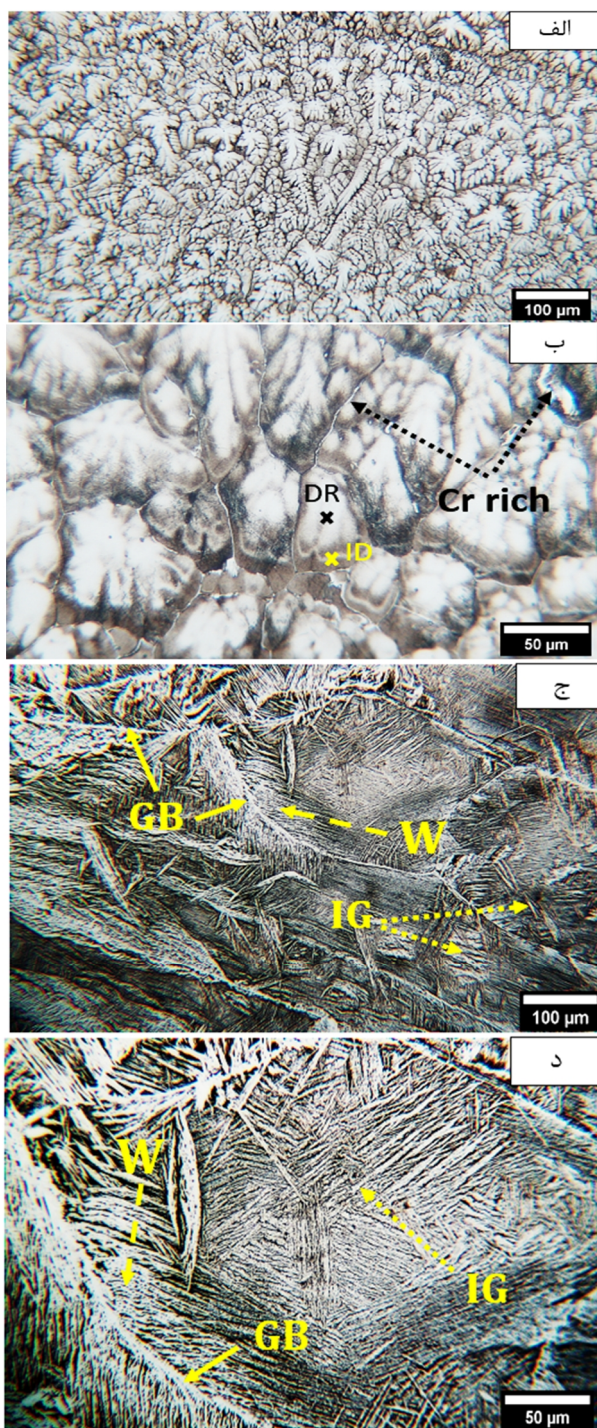
جدول 1- متغیرها و شرایط جوشکاری در پژوهش حاضر.

متغیر جوشکاری	نوع یا مقدار	متغیر جوشکاری	نوع یا مقدار
قطبیت	DCEN	گاز محافظ	آرگون (Ar)
جنس الکترود	W-2%ThO ₂	دبی گاز محافظ (L/min)	10
قطر الکترود (mm)	3	شدت جریان جوشکاری (A)	180
زاویه نوک الکترود (درجه)	60	سرعت جوشکاری (mm/s)	1/4

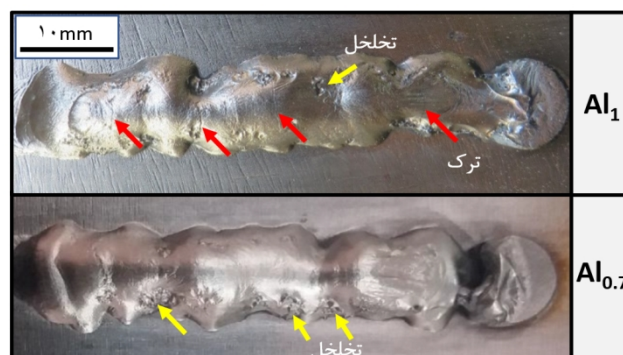
طبق نتایج محققین دیگر، Al در آلیاژ Al_xCoCrFeNi یک عنصر پایدارکننده فاز BCC بوده و در نتیجه کاهش Al پایداری فاز FCC افزایش یافته است [24, 25]. لازم به اشاره است که فازهای B2 و A2 در این آلیاژ دارای شبکه کریستالی یکسان BCC هستند و تنها از لحاظ نظم کریستالی با یکدیگر متفاوتند بطوریکه دو فاز B2 و A2 به ترتیب دارای شبکه کریستالی منظم و نامنظم هستند. همچنین به دلیل نزدیک بودن پارامتر شبکه این دو فاز به یکدیگر، پیک‌های با شدت بیشینه آنها بر همدیگر منطبق شده و امکان تفکیک آنها از هم‌دیگر در الگوهای پراش اشعه ایکس بسیار سخت است.

شکل (4) تصاویر OM دو روکش آلیاژ Al₁ و Al_{0.7} را نشان می‌دهد. طبق شکل در آلیاژ Al₁، ساختار گلبرگی از تفکیک

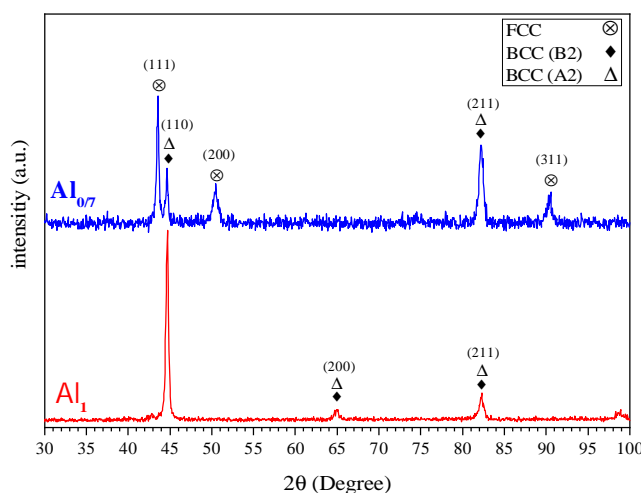
ویدمن اشتاتن (W) تشکیل شده است. از نظر ریزساختاری روکش $Al_{0.7}$ با مقدار Al کمتر در مقایسه با روکش Al_1 دارای دو تفاوت عمده است. اول اینکه به همراه فاز BCC فاز FCC در انواع مورفولوژی‌ها تشکیل شده است و دوم اینکه بجای فاز غنی از Cr، فاز FCC بر روی مرزدانه‌ها تشکیل شده است.



شکل 4- تصاویر میکروسکوپی نوری از ریزساختار روکش آلیاژ: (الف، ب) Al_1 و (ج، د) $Al_{0.7}$.



شکل 2- نمای ظاهری روکش‌های آلیاژ Al_1 و $Al_{0.7}$. (بیگان قرمز: ترک و بیگان زرد: تخلخل).

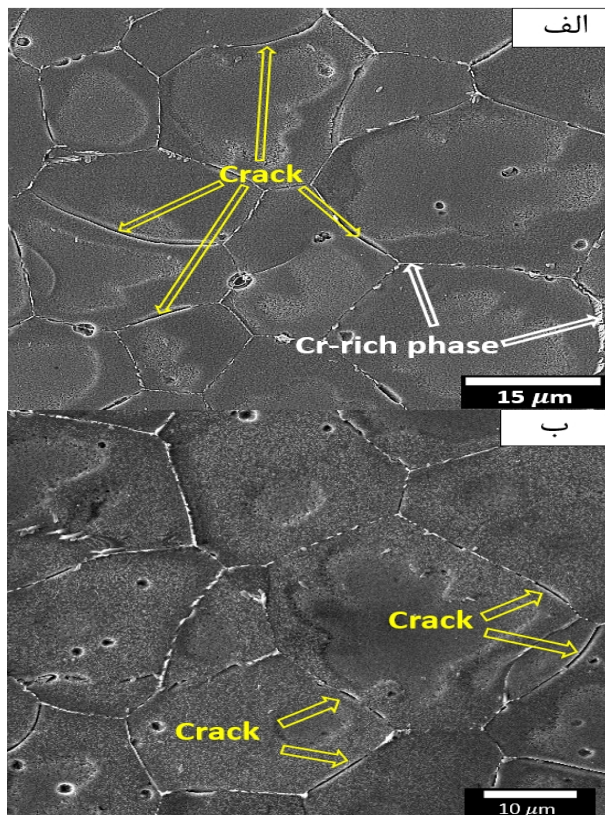


شکل 3- الگوی پراش اشعه ایکس روکش‌های آلیاژ Al_1 و $Al_{0.7}$.

همچنین فازی نواری شکل بر روی مرزدانه با طول و ضخامت‌های متفاوت ایجاد شده است. براساس نتایج تحقیقات قبلی از این روکش، ناحیه دندریتی و بین‌دندریتی دارای شبکه کریستالی BCC بوده و به ترتیب عناصر Al-Ni و Cr-Fe در این دو ناحیه جدایش پیدا کرده است [21]. طبق تصاویر میکروسکوپ الکترون روشی نشر میدانی از تحقیقات قبلی، رسوب‌های A2 با مورفولوژی‌های مختلف بر روی فاز زمینه B2 در این نواحی تشکیل شده است. همچنین فاز نواری طبق آنالیز عنصری غنی از Cr است.

در مقابل در روکش آلیاژ $Al_{0.7}$ دو فاز تیره و روشن تشکیل شده است. طبق نتایج تحقیقات قبلی این آلیاژ [22]، نواحی تیره و روشن به ترتیب فاز BCC و FCC است. همچنین فاز FCC در انواع مورفولوژی‌های مرزدانه‌ای، درون دانه‌ای (IG) و

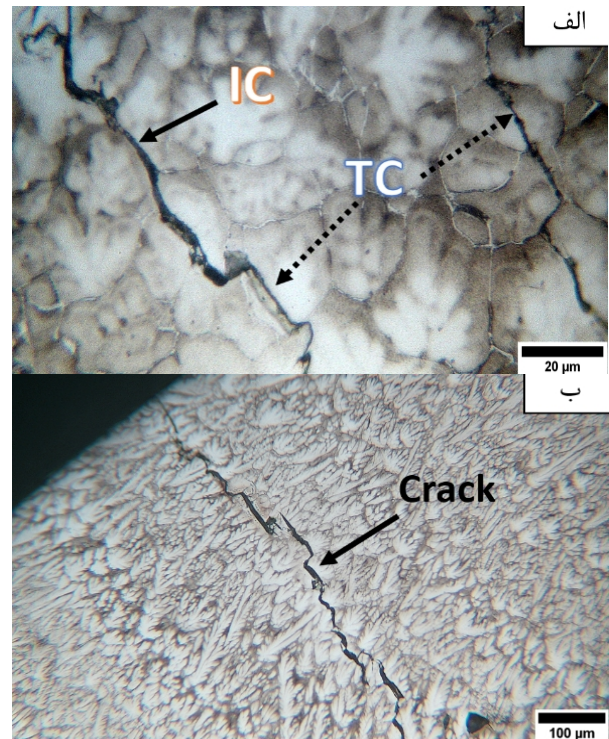
نازک مذاب در مرحله انتهایی انجماد، عامل اصلی تشکیل این ترک گزارش شده است [26]. سازوکار تشکیل ترک انجمادی بدین گونه است که با انجماد مذاب باقیمانده در مجاورت مرزدانه، تنش‌های کششی به دانه‌های منجمد شده اعمال می‌شود و اگر مقدار تنش‌ها بیشتر از استحکام کششی جوش باشد، ترک انجمادی تشکیل و توسط عوامل مختلف نظیر تنش‌های حرارتی اشاعه می‌یابد. از اصلی‌ترین عوامل افزایش حساسیت به تشکیل ترک انجمادی، وجود دامنه انجمادی وسیع در آلیاژ است. طبق نمودارهای فازی آلیاژ Al_1 که توسط محققین بسیاری شبیه‌سازی و رسم شده است [25]، این آلیاژ دارای دامنه انجماد وسیع بوده و حساس به ترک انجمادی است.



شکل 6- تصاویر FESEM از تشکیل ترک‌ها بصورت بین‌دانه‌ای در آلیاژ Al_1 .

شکل (7) تصویر میکروسکوپ الکترون روبشی نشر میدانی از ترک بین‌دانه‌ای تشکیل شده را در روکش Al_1 نشان می‌دهد. طبق شکل، ذراتی در داخل ترک بصورت غیر پیوسته وجود دارد. بر اساس تئوری‌های ارائه شده در خصوص ترک انجمادی در حین تشکیل ترک، مذاب اطراف آن می‌تواند به عنوان عامل

شکل (5) تصاویر میکروسکوپ نوری از تشکیل ترک را در سطح مقطع عرضی روکش Al_1 نشان می‌دهد. طبق شکل ترک‌ها در دو نوع بین‌دانه‌ای و درون‌دانه‌ای ایجاد شده بطوری‌که ترک از نوع بین‌دانه‌ای از لحاظ طول غالب‌تر است. تشکیل ترک در دو نوع بین‌دانه‌ای و درون‌دانه‌ای باعث دشوارتر شدن شناسایی نوع ترک می‌شود پس برای شناسایی دقیق نیاز به نتایج آزمون‌های دیگر است.



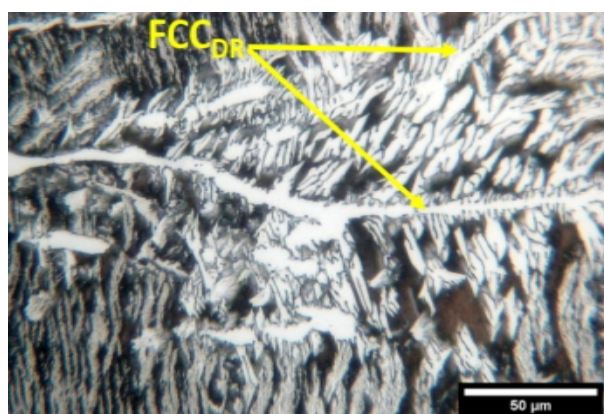
شکل 5- تصاویر میکروسکوپی نوری از تشکیل ترک‌ها در روکش آلیاژ Al_1 .

شکل (6) تصاویر میکروسکوپ الکترون روبشی نشر میدانی از تشکیل ترک‌های بین‌دانه‌ای را در روکش آلیاژ Al_1 نشان می‌دهد. طبق شکل، ترک‌ها بصورت پراکنده در بخش‌های مختلف مرزدانه ایجاد شده است. تشکیل ترک در این حالت شباهت بسیاری به نوع ترک انجمادی دارند. این نوع ترک در مرحله انتهایی انجماد، زمانی که دمای مذاب به دمای خط جامد نزدیک است، غالباً به صورت بین‌دانه‌ای در ناحیه خمیری تشکیل می‌شود [23]. تئوری‌های مختلفی برای تشکیل این نوع ترک ارائه شده است ولی سازوکار دقیق آن بصورت کامل مشخص نیست با این حال در تمامی تئوری‌ها، تشکیل لایه

وجود تنش‌های حرارتی ترک‌ها بصورت درون دانه‌ای اشاعه می‌یابد.

حال سوالی که مطرح می‌شود این است که علت حذف ترک در آلیاژ $Al_{0.7}CoCrFeNi$ چیست؟ طبق نمودار فازی برای آلیاژ $Al_xCoCrFeNi$ مشخص است که با کاهش ضریب Al از 1 به 0/7 دامنه انجماد به دلیل نزدیک‌تر شدن به دمای یوتکتیک کاهش می‌یابد. همانطور که اشاره شد دامنه انجماد وسیع، احتمال رخ دادن ترک انجمادی را افزایش می‌دهد پس با کاهش Al، حساسیت به ترک انجمادی در آلیاژ $Al_{0.7}$ کمتر می‌شود [26, 23].

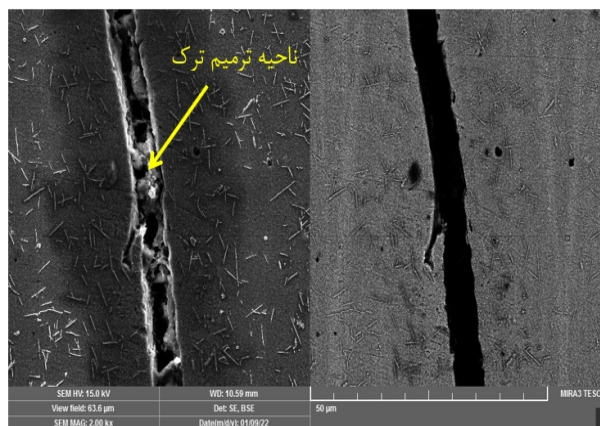
از سوی دیگر، تغییر نوع استحاله فازی در آلیاژ $Al_{0.7}$ نسبت به Al_1 نیز می‌تواند بر تشکیل ترک تاثیرگذار باشد. شکل (8) تصاویر میکروسکوپ نوری از تشکیل فاز FCC در مورفولوژی دندریتی را بر روی برخی مرزدانه‌ها و داخل دانه روکش $Al_{0.7}$ نشان می‌دهد. تشکیل بازوهای اولیه در فاز FCC نشانگر این است که این مورفولوژی مستقیماً از مذاب استحاله یافته است. به عبارتی دیگر مورفولوژی دندریتی در نتیجه استحاله حالت جامد از فاز BCC تشکیل نشده است. طبق نمودار فازی برای این آلیاژ، امکان تشکیل فاز FCC از مذاب در مثلث یوتکتیک $L+BCC+FCC$ وجود دارد.



شکل 8- تصاویر میکروسکوپی نوری از ریزساختار روکش آلیاژ $Al_{0.7}$. تشکیل فاز FCC در مورفولوژی دندریتی.

تشکیل فاز FCC دندریتی در ناحیه خمیری به دو علت می‌تواند باعث کاهش حساسیت به ترک انجمادی در آلیاژ $Al_{0.7}$ شود. علت اول این است که فاز FCC دندریتی از تشکیل فاز غنی از Cr بر روی مرزدانه‌ها جلوگیری می‌کند. فاز غنی از Cr

ترمیم‌کننده ترک عمل کند. اگر مقدار مذاب برای پرکردن ترک کافی باشد، ترک ترمیم خواهد شد و در صورت ناکافی بودن مقدار مذاب، ترک بطور کامل ترمیم نشده و مذاب به صورت غیرپیوسته در داخل ترک منجمد می‌شود. طبق شکل، می‌توان حضور ذرات در داخل ترک را نشانه‌ای از ترک انجمادی در نظر گرفت [26].



شکل 7- تصویر FESEM از ترک بین‌دانه‌ای روکش Al_1 و وجود نشانه‌هایی از ناحیه ترمیم ترک در آن.

در نهایت به دلیل این که ترک‌ها در دمای بالا تشکیل شده و وجود نشانه‌هایی نظیر وسیع بودن دامنه انجمادی، تشکیل ترک بر روی مرزدانه بصورت پراکنده و ترمیم آن توسط مذاب، ترک‌ها از نوع انجمادی شناسایی شد. لازم به اشاره است که امکان رخ دادن ترک انجمادی بصورت درون‌دانه‌ای نیز در شرایطی که ساختار حساس باشد وجود دارد، مخصوصاً در شرایطی که تنش‌های حرارتی زیاد باشد. طبق نتایج الگوی پراش اشعه ایکس، روکش Al_1 دارای فاز BCC (B_2) است و این فاز به دلیل دشوار بودن حرکت نابجایی‌ها یک فاز تردی بوده و حساس به ترک انجمادی است بطوری‌که در این شرایط تنش‌های حرارتی می‌تواند باعث اشاعه ترک انجمادی شود. معمولاً ترک‌های حاصل از تنش‌های حرارتی بصورت درون‌دانه‌ای اشاعه می‌یابند. در حالت کلی روند تشکیل ترک به احتمال زیاد بدین صورت است که در ابتدا ترک‌های انجمادی در ناحیه خمیری تشکیل می‌شود. سپس با کاهش دما از دمای خط جامد، اشاعه ترک به دلیل ترد بودن فاز B_2 زمینه و به دلیل

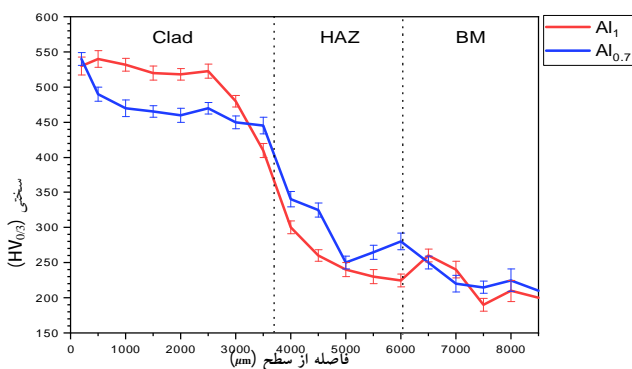
فرایند جوشکاری قوسی تنگستن با گاز محافظ آرگون در شدت جریان جوشکاری 180 A و سرعت جوشکاری 1/4 mm/s در روکش دهی شد و علت تشکیل ترک و حذف آن براساس جزئیات ریزساختاری و ویژگی های انجمادی دو آلیاژ مورد مطالعه قرار گرفت. نتایج مهم حاصل از پژوهش حاضر را می توان بصورت زیر خلاصه نمود:

- ریزساختار روکش Al_1 دارای مورفولوژی گلببری متشکل از فاز BCC همراه با فاز غنی از Cr بر روی مرزخانه ها است. بعد از روکش دهی ترک های عرضی بر روی سطح روکش آلیاژ Al_1 ترک های بین دانه ای و درون دانه ای تشکیل می شود.

- به دلیل تشکیل ترک در دمای بالا در حین سرمایش و وجود نشانه هایی نظیر دامنه انجماد وسیع و تشکیل ترک بصورت پراکنده بر روی مرزخانه و ترمیم آن توسط مذاب باقیمانده، ترک ها از نوع انجمادی شناسایی شدند. همچنین تنش های حرارتی و ترد بودن فاز BCC به عنوان عوامل افزایش حساسیت به ترک تعیین شدند.

- در آلیاژ $Al_{0.7}$ بجای فاز غنی از Cr فاز جدیدی با شبکه کریستالی FCC در انواع مورفولوژی های مرزخانه ای، بین دانه ای، ویدمن اشتاتن و دندریتی در داخل دانه و مرزخانه تشکیل می شود. با این حال هیچ ترکی در سطح و مقطع عرضی روکش $Al_{0.7}$ شناسایی نشد.

- کاهش دامنه انجماد در آلیاژ $Al_{0.7}$ نسبت به آلیاژ Al_1 به عنوان عامل اصلی حذف ترک در این آلیاژ تشخیص داده شد. همچنین تشکیل فاز FCC در مورفولوژی دندریتی و سختی پایین به علت دارا بودن مقادیر Al کمتر از عوامل دیگر کاهش حساسیت به ترک انجمادی تعیین شد.



شکل 9- تغییرات سختی از سطح به عمق در روکش های Al_1 و $Al_{0.7}$.

احتمال بسیار به دلیل داشتن Cr زیاد، یک فاز تردی بوده و حضور آن بر روی مرزخانه ها در مجاورت ترک انجمادی، باعث اشاعه سریع ترک می شود. طبق نتایج آنالیز عنصری در پژوهش قبلی [21, 22]، فاز FCC غنی از FeCrCo بوده و با تشکیل آن در مذاب، مقدار Cr مذاب کاهش می یابد. طبق نتایج محققین [27]، فاز غنی از Cr در حین رشد فاز B2 به دلیل جدایش شدید Cr در مذاب، بر روی مرزخانه ها تشکیل می شود. پس در نتیجه فقیر شدن مذاب به دلیل استحاله فاز FCC دندریتی، احتمال تشکیل فاز غنی از Cr شدیداً کاهش می یابد. همچنین فاز FCC طبق نتایج محققین دیگر، دارای انعطاف پذیری زیادی بوده و حضور آن بر روی مرزخانه شبیه یک سد عمل کرده و از اشاعه ترک ها جلوگیری می کند. قاسم علی و همکاران [28] سازوکار جوانه زنی و رشد ترک را در آلیاژ $AlCoCrFeNi$ عملیات حرارتی شده در $1273\text{ }^{\circ}\text{C}$ با انجام آزمون کشش بررسی کردند. آنها انشعاب و توقف ترک را با رسیدن به فاز FCC در مرزخانه مشاهده کردند.

در ضمن عوامل دیگری نیز بر حساسیت به ترک در آلیاژ Al_1 تاثیرگذار است. شکل (9) پروفیل سختی دو روکش Al_1 و $Al_{0.7}$ را نشان می دهد. همچنین میانگین سختی روکش های آلیاژ Al_1 و $Al_{0.7}$ به ترتیب برابر 506 و 473 HV تعیین شد. طبق این نتایج می توان استنباط کرد که آلیاژ Al_1 به دلیل سختی زیاد، تردتر بوده و انعطاف پذیری کمتری نسبت به آلیاژ $Al_{0.7}$ دارد. با کاهش انعطاف پذیری آلیاژ، احتمال تشکیل ترک انجمادی افزایش می یابد زیرا تحت تنش های کششی ایجاد شده بین دانه ها در فاز ترد ترک آسان تر تشکیل شده و اشاعه می یابد [26]. در نهایت در آلیاژ $Al_{0.7}$ ترکیبی از عوامل کاهش دامنه انجماد، تشکیل فاز FCC دندریتی بجای فاز غنی از Cr و کاهش سختی نسبت به آلیاژ Al_1 به دلیل کاهش Al، باعث کاهش حساسیت به ترک خوردگی و عدم تشکیل ترک شده است.

4- نتیجه گیری

در پژوهش حاضر دو روکش آلیاژ آنتروپی بالای $AlCoCrFeNi$ (Al_1) و $Al_{0.7}CoCrFeNi$ ($Al_{0.7}$) بر روی فولاد ساده کربنی با

منابع

- 13-Zhu, J., Lu, S., Jin, Y., Xu, L., Xu, X., Yin, C., & Jia, Y., "High-Temperature Oxidation Behaviours of AlCoCrFeNi High-Entropy Alloy at 1073–1273 K," *Oxidation of Metals*, vol. 94, no. 3, pp. 265-281, 2020.
- 14-Garg, M., Grewal, H. S., Sharma, R. K., & Arora, H. S., "Enhanced oxidation resistance of ultrafine-grain microstructure AlCoCrFeNi high entropy alloy," *ACS omega*, vol. 7, no. 15, pp. 12589-12600, 2022.
- 15- کرباسیان، م، ادب‌آوازه، ن و نیکبخت، م، "ارایه مدل ارزیابی ریسک ترک فلزجوش با تکنیک FBWM"، نشریه علوم و فناوری جوشکاری ایران، سال 7، شماره 2، 139-2، زمستان 1400.
- 16-Ye, F., Jiao, Z., Yan, S., Guo, L., Feng, L., & Yu, J., "Microbeam plasma arc remanufacturing: Effects of Al on microstructure, wear resistance, corrosion resistance and high temperature oxidation resistance of AlxCoCrFeMnNi high-entropy alloy cladding layer," *Vacuum*, vol. 174, p. 109178, 2020.
- 17-Fan, Q., Chen, C., Fan, C., Liu, Z., Cai, X., Lin, S., & Yang, C., "AlCoCrFeNi high-entropy alloy coatings prepared by gas tungsten arc cladding: Microstructure, mechanical and corrosion properties," *Intermetallics*, vol. 138, p. 107337, 2021.
- 18- اسدی، س، سعید، ت، والانژاد، ع و خلیل‌علافی، ج "جوشکاری لیزر غیرهم‌جنس سیم‌های ارتودنسی آلیاژ حافظه‌دار NiTi به فولادزنگ‌نزن آستنیتی" نشریه علوم و فناوری جوشکاری ایران، سال 5، شماره 2، 135-146، زمستان 1398.
- 19-عباسیان، ن، سعید، ت و اکبری، ا، "ریزساختار روکش آنتروپی بالای Al_{0.7}CoCrFeNi حاصل از جوشکاری قوسی تنگستن با گاز محافظ (GTAW)"، دومین کنفرانس بین‌المللی کاربرد مواد و ساخت پیشرفته در صنایع، تیرماه 1401.
- 20-Kou, S., "Welding metallurgy," *New Jersey, USA*, vol. 431, no. 446, pp. 223-225, 2003.
- 21-Wang, W. R., Wang, W. L., Wang, S. C., Tsai, Y. C., Lai, C. H., & Yeh, J. W., "Effects of Al addition on the microstructure and mechanical property of AlxCoCrFeNi high-entropy alloys," *Intermetallics*, vol. 26, pp. 44-51, 2012.
- 22-Wang, W. R., Wang, W. L., & Yeh, J. W., "Phases, microstructure and mechanical properties of AlxCoCrFeNi high-entropy alloys at elevated temperatures," *Journal of Alloys and Compounds*, vol. 589, pp. 143-152, 2014.
- 23-Lippold, J. C., *Welding metallurgy and weldability*. John Wiley & Sons, 2014.
- 24-Murty, B. S., Yeh, J. W., Ranganathan, S., & Bhattacharjee, P. P., *High-entropy alloys*. Elsevier, 2019.
- 25-Ghassemali, E., Sonkusare, R., Biswas, K., & Gurao, N. P., "In-situ study of crack initiation and propagation in a dual phase AlCoCrFeNi high entropy alloy," *Journal of Alloys and Compounds*, vol. 710, pp. 539-546, 2017.
- 1- رسولی، ا و رفیعی، م، "ارزیابی خواص اتصال غیر مشابه فولاد زنگ‌نزن آستنیتی AISI316 به فولاد زنگ‌نزن فریتی AISI430 جوشکاری شده توسط فرایند GTAW" نشریه علوم و فناوری جوشکاری ایران، سال 4، شماره 2، ص ص 111-126، زمستان 1397.
- 2- ذاکری، م، ه، نصر اصفهانی، ع و برکت، س، م، "روکش کاری لیزری اینکونل 625 بر روی فولاد A575"، نشریه علوم و فناوری جوشکاری ایران، سال 7، شماره 2، 112-2، زمستان 1400.
- 3-Donachie, M. J., & Donachie, S. J., "*Superalloys: a technical guide*," ASM international, 2002.
- 4-Cantor, B., Chang, I. T. H., Knight, P., & Vincent, A. J. B., "Microstructural development in equiatomic multicomponent alloys," *Materials Science and Engineering: A*, vol. 375, pp. 213-218, 2004.
- 5-عمادی، م، مستعان، ح و رفیعی، م، "ارزیابی ریزساختار و رفتار خوردگی اتصالات غیرمشابه لیزری سوپر آلیاژ پایه نیکل 625 به فولاد زنگ‌نزن فریتی AISI430" نشریه علوم و فناوری جوشکاری ایران، سال 5، شماره 2، 103-121، زمستان 1398.
- 6-Tian, F., Wang, Y., Irving, D. L., & Vitos, L., "High-Entropy Alloys: Fundamentals and Applications," 2016.
- 7-Li, J., Huang, Y., Meng, X., & Xie, Y., "A review on high entropy alloys coatings: fabrication processes and property assessment," *Advanced Engineering Materials*, vol. 21, no. 8, p. 1900343, 2019.
- 8-Badheka, V. J., Gadakh, V. S., Shinde, V. B., & Bhati, G., "GTAW Application for Additive Manufacturing and Cladding of Steel Alloys," in *Handbook of Smart Materials, Technologies, and Devices: Applications of Industry 4.0*: Springer, 2021, pp. 1-21.
- 9-Mishra, R. S., Haridas, R. S., & Agrawal, P., "High entropy alloys–Tunability of deformation mechanisms through integration of compositional and microstructural domains," *Materials Science and Engineering: A*, vol. 812, p. 141085, 2021.
- 10-Gopinath, V. M., & Arulvel, S., "A review on the steels, alloys/high entropy alloys, composites and coatings used in high temperature wear applications," *Materials Today: Proceedings*, vol. 43, pp. 817-823, 2021.
- 11-Geng, Y., Tan, H., Cheng, J., Chen, J., Sun, Q., Zhu, S., & Yang, J., "Microstructure, mechanical and vacuum high temperature tribological properties of AlCoCrFeNi high entropy alloy based solid-lubricating composites," *Tribology International*, vol. 151, p. 106444, 2020.
- 12-Wei, C. B., Du, X. H., Lu, Y. P., Jiang, H., Li, T. J., & Wang, T. M., "Novel as-cast AlCrFe₂Ni₂Ti_{0.5} high-entropy alloy with excellent mechanical properties," *International Journal of Minerals, Metallurgy and Materials*, vol. 27, no. 10, pp. 1312-1317, 2020.